

BAB V

PENGUJIAN ALAT

Pengujian alat ini bertujuan untuk mengetahui kesesuaian perancangan dengan hasil kerja masing-masing sub sistem dan sistem secara keseluruhan. Pengujian yang dilakukan ini menggunakan beberapa alat pendukung serta catu daya dengan dengan tegangan 5 V dan ± 9 V.

5.1 Pengujian Respon Sensor

5.1.1 Tujuan

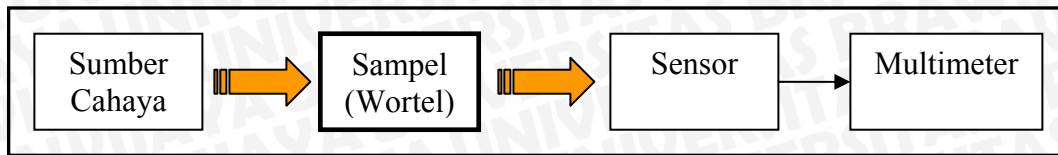
Pengujian respon sensor ini bertujuan untuk mengetahui perubahan tegangan keluaran sensor OPT101P dalam mendeteksi kadar vitamin A akibat perubahan warna permukaan wortel. Hasil uji ini dianalisis untuk mendapatkan respon sensor yang linier dan untuk mengetahui grafik hukum Beer beserta penyimpangannya.

5.1.2 Peralatan

1. Rangkaian unit sumber cahaya (LED) dan sensor OPT101P
2. Kotak kedap cahaya
3. Beberapa sampel (Wortel)
4. Multimeter

5.1.3 Prosedur Pengujian

1. Menyusun rangkaian unit sumber cahaya dan sensor seperti ditunjukkan dalam Gambar 4.2 dan Gambar 4.3 dengan diagram blok dalam Gambar 5.1.
2. Mengatur rangkaian unit sumber cahaya dan sensor agar dapat mendeteksi sampel, serta mengatur posisi voltmeter agar mudah dalam pencatatan.
3. Menghidupkan catu daya.
4. Meletakkan sampel pada tempat ukur secara bergantian.
5. Mengamati dan mencatat hasilnya pada voltmeter.



Gambar 5.1. Diagram Blok Pengujian Respon Sensor.

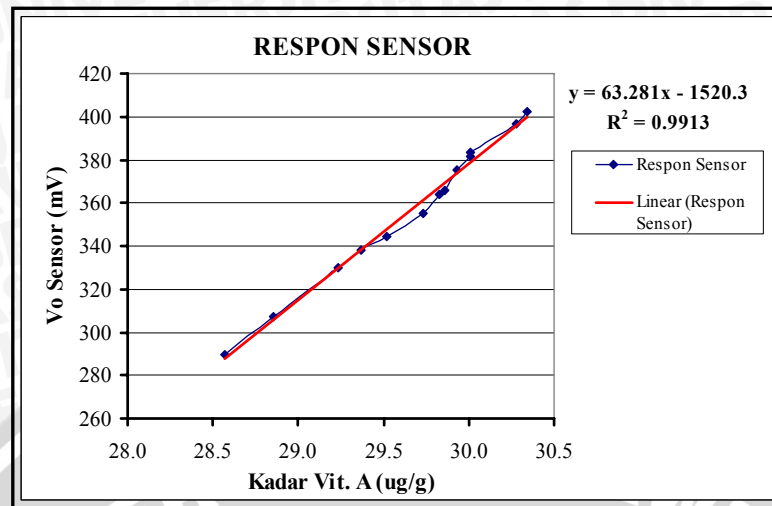
5.1.4 Hasil Pengujian

Hasil dari pengujian ini didapat perbandingan antara tegangan keluaran sensor dengan hasil pengukuran vitamin A wortel dari Laboratorium Kimia. Hasil perbandingannya ditunjukkan dalam Tabel 5.1.

Tabel 5.1. Hasil Pengujian Respon Sensor

| No. | Nama Sampel | β -karoten ($\mu\text{g/g}$) | Vitamin A ($\mu\text{g/g}$) | Vo Sensor (mV) |
|-----|-------------|--------------------------------------|-------------------------------|----------------|
| 1 | W1 | 171,396 | 28,566 | 290 |
| 2 | W2 | 173,107 | 28,851 | 307 |
| 3 | W4 | 175,406 | 29,234 | 330 |
| 4 | W14 | 176,204 | 29,367 | 338 |
| 5 | W3 | 177,128 | 29,521 | 345 |
| 6 | W6 | 178,388 | 29,731 | 355 |
| 7 | W10 | 178,957 | 29,826 | 364 |
| 8 | W7 | 179,153 | 29,859 | 366 |
| 9 | W8 | 179,582 | 29,930 | 375 |
| 10 | W5 | 180,049 | 30,008 | 382 |
| 11 | W15 | 180,066 | 30,011 | 384 |
| 12 | W9 | 181,65 | 30,275 | 397 |
| 13 | W16 | 182,071 | 30,345 | 402 |

Kadar vitamin A dan tegangan keluaran sensor dalam Tabel 5.1 masing-masing merupakan rata-rata dari dua kali ulangan pengujian kadar vitamin A dan tiga kali ulangan pengujian tegangan keluaran sensor. Data dari tabel tersebut dibuat grafik tegangan keluaran sensor dengan fungsi kadar vitamin A wortel. Seperti ditunjukkan dalam Gambar 5.2.



Gambar 5.2. Grafik Hasil Pengujian Respon Sensor

Hasil pengujian respon sensor ini digunakan untuk menentukan konstanta dalam persamaan 2.3. Besar reflektansi (R) dalam persamaan tersebut dapat diketahui dengan menghitung perbandingan intensitas cahaya pantulan dari permukaan wortel (I_R) dan intensitas cahaya sebelum mengenai permukaan wortel (I_O). Besar intensitas cahaya sebanding dengan besar daya radiasinya (P). Daya radiasi cahaya dihitung dengan menggunakan grafik respon spektrum sensor dalam Gambar 2.7, untuk setiap kenaikan 0.38 V ($\lambda = 600$ nm) pada tegangan keluaran sensor sama dengan sensor menyerap daya radiasi sebesar 1 μ W. Perhitungan dalam sampel 1 (W1) adalah sebagai berikut:

$$P = \frac{V_o \text{ sensor}}{380 \text{ V}/\mu\text{W}}$$

$$P_R = \frac{290\text{mV}}{380 \text{ V}/\mu\text{W}} = 0,763\mu\text{W}$$

$$P_O = \frac{1,616\text{mV}}{380 \text{ V}/\mu\text{W}} = 4,253\mu\text{W}$$

$$R = \frac{P_R}{P_O} = \frac{0,763}{4,253} = 0,179$$

$$k = \frac{-\log(1 - R)}{c}$$

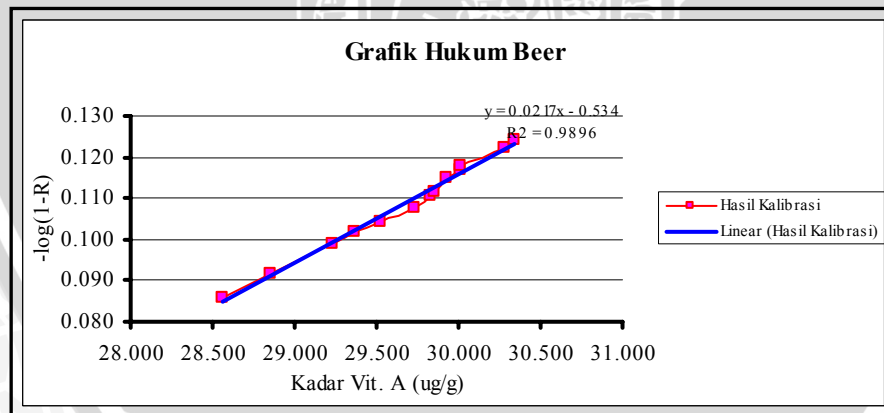
$$k = \frac{-\log(1 - 0,179)}{28,566} \times 1000 = 3,005$$

Besar nilai konstanta dikali 10^3 agar nilai k lebih teliti dengan pembulatan tiga angka dibelakang koma. Hasil perhitungan seluruh sampel ditunjukkan dalam Tabel 5.2.

Tabel 5.2. Hasil Perhitungan Respon Sensor.

| No. | Nama Sampel | Vitamin A (µg/g) | Vo Sensor (mV) | PR (µW) | PO (µW) | R | -log(1-R) | k |
|-----|-------------|------------------|----------------|---------|---------|-------|-----------|-------|
| 1 | W1 | 28,566 | 290 | 0,763 | 4,253 | 0,179 | 0,086 | 3,005 |
| 2 | W2 | 28,851 | 307 | 0,808 | 4,253 | 0,190 | 0,092 | 3,173 |
| 3 | W4 | 29,234 | 330 | 0,868 | 4,253 | 0,204 | 0,099 | 3,391 |
| 4 | W14 | 29,367 | 338 | 0,889 | 4,253 | 0,209 | 0,102 | 3,468 |
| 5 | W3 | 29,521 | 345 | 0,907 | 4,253 | 0,213 | 0,104 | 3,527 |
| 6 | W6 | 29,731 | 355 | 0,935 | 4,253 | 0,220 | 0,108 | 3,625 |
| 7 | W10 | 29,826 | 364 | 0,957 | 4,253 | 0,225 | 0,111 | 3,714 |
| 8 | W7 | 29,859 | 366 | 0,963 | 4,253 | 0,226 | 0,111 | 3,733 |
| 9 | W8 | 29,930 | 375 | 0,987 | 4,253 | 0,232 | 0,115 | 3,833 |
| 10 | W5 | 30,008 | 382 | 1,005 | 4,253 | 0,236 | 0,117 | 3,901 |
| 11 | W15 | 30,011 | 384 | 1,009 | 4,253 | 0,237 | 0,118 | 3,920 |
| 12 | W9 | 30,275 | 397 | 1,043 | 4,253 | 0,245 | 0,122 | 4,038 |
| 13 | W16 | 30,345 | 402 | 1,058 | 4,253 | 0,249 | 0,124 | 4,095 |

Data dari Tabel 5.2 dapat dibuat hubungan grafik hukum Beer berdasarkan perhitungan dan hasil kalibrasi, seperti ditunjukkan dalam Gambar 5.3.



Gambar 5.3. Grafik Hukum Beer

Nilai k dalam perhitungan hukum Beer harus konstan, didapat dengan merata-rata dari semua nilai k pada setiap sampel, yaitu sebesar 3,648. Dengan menggunakan nilai k rata-rata dalam perhitungan konsentrasi pada sampel pertama dan terakhir,

maka akan diketahui apakah terjadi penyimpangan hukum Beer. Hasil perhitungan konsentrasi pada sampel pertama dan terakhir berturut-turut sebesar 23,528 $\mu\text{g/g}$ dan 34,063 $\mu\text{g/g}$. Perbandingan besar konsentrasi hasil perhitungan dengan hasil kalibrasi pada sampel terakhir yang lebih besar dan sampel pertama yang lebih kecil dari hasil kalibrasi membuktikan terjadinya penyimpangan hukum Beer.

Kurva hukum Beer yang menyimpang masih dapat digunakan dalam analisa kuantitatif dengan dasar penentuan kadar suatu zat selalu didasarkan atas kurva standar yang telah teruji. Mengacu pada pernyataan tersebut, maka penentuan rumus perhitungan untuk mendapatkan besar konsentrasi vitamin A dalam wortel menggunakan persamaan kurva linier penyimpangan hukum Beer (Gambar 5.3). Prosentase kesalahan dalam kurva tersebut sebesar 1,04 % ($R^2 = 0,9896$) dan persamaannya adalah sebagai berikut:

$$c = 0,0217(-\log(1 - R)) - 0,534$$

5.2 Pengujian Rangkaian Pengkondisi Sinyal

5.2.1 Tujuan

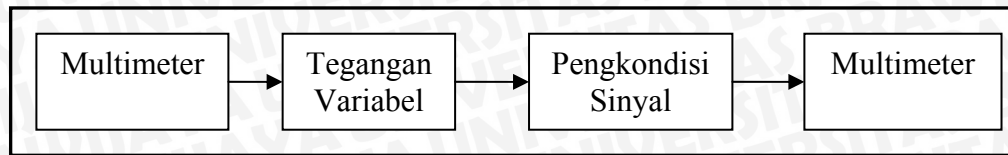
Pengujian ini bertujuan untuk mengetahui perubahan tegangan keluaran rangkaian pengkondisi sinyal yang sesuai dengan perhitungan, dimana beberapa kondisi tegangan masukannya telah ditentukan.

5.2.1 Peralatan

1. Rangkaian unit pengkondisi sinyal
2. Multimeter
3. Variabel Resistor

5.2.1 Prosedur Pengujian

1. Menyusun diagram blok rangkaian seperti terlihat dalam Gambar 5.4.
2. Mengatur posisi saklar putar multimeter pada voltmeter.
3. Menghidupkan catu daya.
4. Mengubah tegangan masukan dalam *range* tegangan 60,5 - 707,8 mV.
5. Mengamati dan mencatat kondisi tegangan masukan dan keluaran yang tertampil pada multimeter.



Gambar 5.4. Diagram Blok Pengujian Rangkaian Pengkondisi Sinyal.

5.2.4 Hasil Pengujian

Hasil pengujian rangkaian pengkondisi sinyal ditunjukkan dalam Tabel 5.3, prosentase kesalahan dengan persamaan 5.1. Rata-rata prosentase kesalahan antara hasil perhitungan dengan hasil sebenarnya sebesar 0,67 %.

$$\% \text{ Kesalahan} = \left| \frac{\text{Perhitungan-Pengukuran}}{\text{Perhitungan}} \right| \times 100\% \quad (5.1)$$

Tabel 5.3. Hasil Pengujian Rangkaian Pengkondisi Sinyal

| No. | Tegangan Masukan (mV) | Tegangan Keluaran (V) | | Kesalahan (%) |
|---------------------------------|-----------------------|-----------------------|-------------------|---------------|
| | | Hasil Pengujian | Hasil Perhitungan | |
| 1 | 76 | 0,121 | 0,120 | 1,09 |
| 2 | 101 | 0,310 | 0,313 | 0,89 |
| 3 | 184 | 0,949 | 0,954 | 0,50 |
| 4 | 208 | 1,145 | 1,139 | 0,51 |
| 5 | 246 | 1,422 | 1,433 | 0,74 |
| 6 | 332 | 2,120 | 2,097 | 1,11 |
| 7 | 573 | 3,980 | 3,958 | 0,56 |
| 8 | 614 | 4,290 | 4,275 | 0,36 |
| 9 | 669 | 4,720 | 4,699 | 0,44 |
| 10 | 693 | 4,910 | 4,885 | 0,52 |
| Rata-rata prosentase kesalahan: | | | | 0,67 |

5.3 Pengujian Rangkaian Antarmuka LCD Dengan Mikrokontroler

5.3.1 Tujuan

Pengujian ini bertujuan untuk mengetahui modul LCD dapat bekerja dengan baik dan memeriksa kebenaran penulisan program mikrokontroler agar LCD dapat menampilkan teks sesuai yang diinginkan.

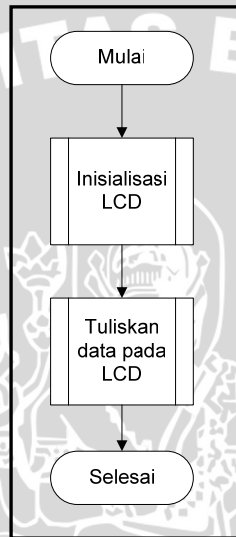
5.3.2 Peralatan

1. Rangkaian unit mikrokontroler dan *writer*-nya

2. Modul LCD LMB162A

5.3.3 Prosedur Pengujian

1. Membuat program dengan diagram alir seperti dalam Gambar 5.5, melakukan *compiling* dan mengisikan ke ATmega8535
2. Menyusun rangkaian seperti terlihat dalam Gambar 4.5
3. Menghidupkan catu daya
4. Mengamati hasil keluaran LCD



Gambar 5.5. Diagram Alir Perangkat Lunak Pengujian LCD.

5.3.4 Hasil Pengujian

Hasil pengujian dapat dianalisis bahwa rangkaian LCD yang dirancang dapat menampilkan teks sesuai dengan yang diinginkan dan dapat bekerja dengan baik. Hasil pengujian ditunjukkan dalam tabel 5.4.

Tabel 5.4 Hasil Pengujian Antarmuka LCD Dengan Mikrokontroler.

| No. | Masukan dalam program | Hasil |
|-----|---------------------------|--|
| 1 | Baris I: "SELAMAT DATANG" |  |
| 2 | Baris II: "DHIYAUDDIN" |  |

5.4 Pengujian Perangkat Lunak Mikrokontroler ATmega8535

5.4.1 Tujuan

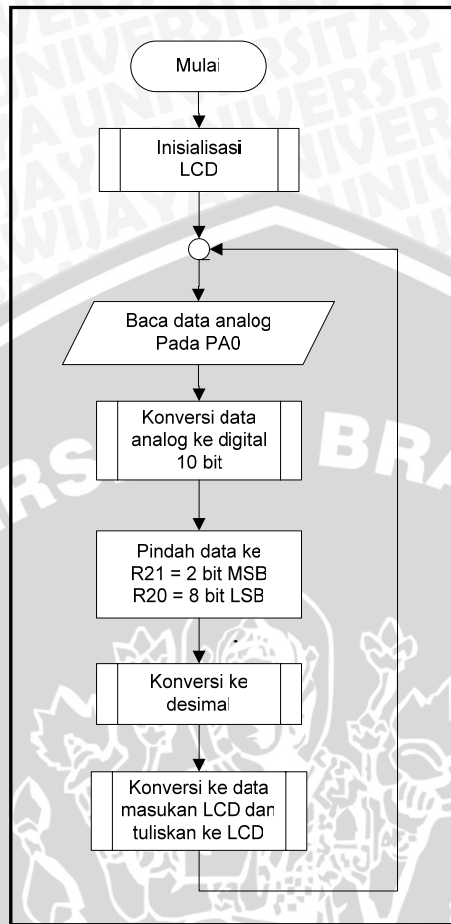
Pengujian ini bertujuan untuk mengetahui perangkat lunak yang dituliskan pada mikrokontroler bekerja sesuai dengan perancangan. Perangkat lunak yang dituliskan dalam mikrokontroler ini terdapat beberapa proses konversi, yaitu konversi data analog ke digital dan konversi data biner ke desimal. Pengujian ini juga bertujuan memeriksa kebenaran pada masing-masing proses tersebut.

5.4.2 Peralatan

1. Rangkaian unit mikrokontroler dan *writer*-nya
2. Modul LCD LMB162A
3. Variabel resistor sebagai pengubah tegangan masukan analog pada mikrokontroler (PA0)

5.4.3 Prosedur Pengujian

1. Membuat program dengan diagram alir seperti dalam Gambar 5.6, melakukan *compiling* dan mengisikan ke ATmega8535.
2. Menyusun rangkaian seperti terlihat dalam Gambar 4.5 dan menambah masukan pada PA0 rangkaian pengubah tegangan.
3. Menghidupkan catu daya
4. Mengubah-ubah hambatan pada variabel resistor
5. Mengamati dan mencatat keluaran pada LCD



Gambar 5.6. Diagram Alir Pengujian Perangkat Lunak ATmega8535.

5.4.4 Hasil Pengujian

Analisis pada hasil pengujian didapat bahwa perangkat lunak pada mikrokontroler ATmega8535 bekerja sesuai dengan diagram alir. Tampilan angka pada LCD adalah hasil konversi masukan analog mikrokontroler dalam bentuk desimal, hasil pengujian ini ditunjukkan dalam Tabel 5.5. Rata-rata prosentase kesalahan dalam pengujian ini adalah 0,22 %.

Tabel 5.5 Hasil Pengujian Perangkat Lunak Mikrokontroler.

| No. | Tegangan Masukan (V) | Bit Keluaran (desimal) | | Selisih | Kesalahan (%) |
|---------------------------------|----------------------|------------------------|-------------------|---------|---------------|
| | | Hasil Pengujian | Hasil Perhitungan | | |
| 1 | 0.26 | 54 | 53.25 | 0.75 | 1.41 |
| 2 | 0.58 | 119 | 118.78 | 0.22 | 0.18 |
| 3 | 1.52 | 312 | 311.30 | 0.70 | 0.23 |
| 4 | 2.06 | 422 | 421.89 | 0.11 | 0.03 |
| 5 | 2.48 | 508 | 507.90 | 0.10 | 0.02 |
| 6 | 2.95 | 604 | 604.16 | 0.16 | 0.03 |
| 7 | 3.51 | 718 | 718.85 | 0.85 | 0.12 |
| 8 | 4.17 | 854 | 854.02 | 0.02 | 0.00 |
| 9 | 4.64 | 950 | 950.27 | 0.27 | 0.03 |
| 10 | 4.89 | 1000 | 1001.47 | 1.47 | 0.15 |
| Rata-rata prosentase kesalahan: | | | | | 0.22 |

5.5 Pengujian Keseluruhan Sistem

5.5.1 Tujuan

Pengujian keseluruhan sistem bertujuan untuk mengetahui kerja dari penggabungan blok-blok hasil perancangan. Besar prosentase kesalahan perancangan diketahui dari selisih hasil kadar vitamin A yang ditampilkan LCD dengan hasil uji laboratorium.

5.5.2 Peralatan

1. Rangkaian unit mikrokontroler dan *writer*-nya
2. Modul LCD LMB162A
3. Rangkaian pengkondisi sinyal
4. Rangkaian unit sumber cahaya (LED) dan sensor OPT101P
5. Kotak kedap cahaya
6. Beberapa sampel (Wortel)

5.5.3 Prosedur Pengujian

1. Menggabungkan semua rangkaian tiap blok menjadi satu sistem seperti dalam gambar diagram blok sistem.
2. Membuat program dengan diagram alir seperti dalam Gambar 4.6, melakukan *compiling* dan mengisikan ke ATmega8535.

3. Menghidupkan catu daya
4. Letakkan sampel pada tempat sampel.
5. Tekan tombol pengaktifan (PB0 = 1)
6. Mengamati dan mencatat keluaran pada LCD

5.5.4 Hasil Pengujian

Hasil pengujian keseluruhan sistem pengukuran kadar vitamin A dalam wortel ini dapat diketahui besar kesalahannya dengan mengukur beberapa sampel dan mengujikan sampel tersebut ke laboratorium, seperti ditunjukkan dalam Tabel 5.6.

Tabel 5.6 Hasil Pengujian Keseluruhan Sistem

| No. | Nama Sampel | Kadar Vitamin A ($\mu\text{g/g}$) | | Kesalahan (%) |
|---------------------------------|-------------|-------------------------------------|----------------|---------------|
| | | Hasil Pengujian | Hasil Uji Lab. | |
| 1 | Wa | 30,24 | 30,32 | 0,27 |
| 2 | Wb | 29,65 | 29,43 | 0,76 |
| 3 | Wc | 29,95 | 30,29 | 1,12 |
| 4 | Wd | 29,25 | 29,33 | 0,26 |
| 5 | We | 29,84 | 29,91 | 0,25 |
| Rata-rata prosentase kesalahan: | | | | 0,53 |

Akumulasi prosentase kesalahan pengujian sub sistem dalam perancangan ini sebesar 1,93 % dan prosentase kesalahan hasil uji keseluruhan sistem sebesar 0,53 %. Kedua hasil tersebut dirata-rata untuk memperoleh nilai total prosentase kesalahan, yaitu sebesar 1,23 % ($R^2 = 0,9877$). Semakin kecilnya prosentase kesalahan dalam instrumen pengukuran, ketepatannya semakin baik.